

## تأثیر دانسیته‌ی ماکزیمم روی جابجایی طبیعی و تولید آنتروپی نانوذرات (نانو سیال) در حلقه‌های استوانه‌ای هم‌مرکز افقی

سینا کاشانی<sup>۱\*</sup>، مهدی حسن‌زاده<sup>۲</sup>، میرمرسل مدنی<sup>۳</sup>

۱ و ۲ مری، گروه مهندسی مکانیک، مرکز کردکوی، واحد گرگان، دانشگاه آزاد اسلامی، کردکوی، ایران.  
۳ مهندسی کامپیوتر، مری، مرکز کردکوی، واحد گرگان، دانشگاه آزاد اسلامی، کردکوی، ایران.

دریافت: بهار ۹۷ پذیرش: تابستان ۹۸

### چکیده

در این مقاله، انتقال حرارت جابجایی طبیعی و تولید آنتروپی نانو سیال آب- مس در نزدیکی حداکثر دانسیته‌ی آب (فرض نان بوزینسک) در یک حلقه‌ی استوانه-ای هم‌مرکز افقی و دوبعدی به صورت عددی بررسی شده است. معادلات حاکم بر اساس مدل همگن نان بوزینسک و با استفاده از روش حجم محدود فشار مینا، روی یک شبکه‌ی غیر یکنواخت حلقوی شکل مورد حل قرار گرفته شده‌اند. محاسبات برای  $Ra = 10^5$  و درصد حجمی نانو ذرات از 0 تا 0.08 انجام شده است. نتایج عددی به صورت خطوط جریان، خطوط هم‌دما، بردارهای سرعت و عدد ناسلت میانگین ارائه شده است و همچنین کانتور تولید آنتروپی محلی و متوسط برای بررسی قانو دوم ترمودینامیک بررسی شده است. نتایج بدست آمده نشان داده‌اند که وارونگی دانسیته و حضور نانوذرات هر دو نقش بسیار مهمی را در ساختار میدان جریان و ویژگی های انتقال حرارت بازی می‌کنند. می‌توان نتیجه گرفت که تقریب بوزینسک باعث افزایش نرخ انتقال حرارت متوسط و تولید آنتروپی نسبت به تقریب نان بوزینسک می‌شود. علاوه بر این، عدد ناسلت میانگین با افزایش درصد حجمی نانوذرات کاهش می‌یابد. در نهایت، نتایج عددی موجود تأیید کننده‌ی تأثیر وارونگی دانسیته‌ی آب بر مشخصه‌ی انتقال حرارت جابجایی بدلیل تشکیل ساختار دوسلولی می‌شود.

\*عهده‌دار مکاتبات: [kashani.sina@gmail.com](mailto:kashani.sina@gmail.com)

کلمات کلیدی: نانو سیال، جابجایی طبیعی، وارونگی دانسیته، مدل نان بوزینسک

## Maximum density effect of natural convection and entropy generation of nanoparticle (Nano fluid) in a horizontal concentric cylindrical annulus

Sina Kashani<sup>1\*</sup>, Mahdi Hassanzadeh<sup>2</sup>, Mirmorsal Madani<sup>3</sup>

1,2- Department of Mechanical Engineering, Kordkuy center, Gorgan branch, Islamic azad university, Kordkuy, Iran.

3- Department of Computer Engineering, Kordkuy center, Gorgan branch, Islamic azad university, Kordkuy, Iran.

\*P.O.B. 49156-86166, kordkuy, Iran, s.kashani@kordkuyiau.ac.ir

### Abstract

Entropy generation and Laminar Natural convection of Cu-water Nano fluid near density maximum of water (non-Boussinesq approximation) in a two-dimensional horizontal concentric cylindrical annulus is investigated numerically. The governing equations based on the non-Boussinesq homogenous model are solved on a non-uniform ring type mesh using a pressure-based finite volume method. The calculation is performed for  $Ra=10^5$  and nanoparticle volume fraction from 0 to 0.08. Numerical results are presented in the terms of streamlines, isotherms, velocity vectors and local and average Nusselt number. Aso contours of local entropy generation and average entropy generation are presented. It is found that the density inversion and the presence of nanoparticles both play a significant role in the flow field structure and heat transfer characteristics. It can be concluded that Boussinesq approximation gives rise to the higher average heat transfer rate and entropy generation as compared to non-Boussinesq approximation. In addition, the average Nusselt number decreases as the volume fraction of nanoparticle increases. Finally, the present numerical results verify

the determining effect of the density inversion of water on the convection character because of the formation bi-cellular structure.

## Keywords

Nano fluid, Natural convection, Density inversion, Non-Boussinesq model

### ۱- مقدمه

جابجایی طبیعی یکی از مهمترین مکانیزم‌های انتقال حرارت است که بواسطه تفاوت‌های چگالی ایجاد می‌شود. در سال‌های اخیر به دلیل طیف وسیعی از کاربردهای مهندسی از قبیل گرمایش خانگی، سولولهای خورشیدی، کلکتورهای خورشیدی و فرایندهای ذخیره‌سازی غذا، به جابجایی طبیعی توجه زیادی شده‌است [1]. الماقلانی و همکارانش [2] به بررسی تجربی جابجایی آزاد در حلقه‌های بین دو کانال مربعی افقی بیرون از مرکز که هر دو با انتهای باز و در شارهای مختلف بودند پرداختند. در طی سالهای اخیر مطالعات متعددی برای بررسی انتقال حرارت و جریان سیال در حلقه‌های افقی، هم‌مرکز و غیر هم‌مرکز انجام شده‌است [3]. وجود راه‌حل‌های دوگانه برای جابجایی طبیعی در حلقه‌های بیرون از مرکز (غیر هم‌مرکز) با استفاده از روش لیتیس بولتزمن (LBM) توسط کانگ و همکارانش مورد بررسی قرار گرفت [4]. نتایج حاصل نشان داد که بیرون از مرکز بودن، عاملی حیاتی برای بی‌ثباتی و وجود دوگانه‌سازی جابجایی طبیعی در حلقه‌های خارج از مرکز است. مطالعات عددی توسط کومار [5] برای بررسی اثر میدان مغناطیسی شعاعی بر روی انتقال حرارت جابجایی طبیعی یک سیال هدایتی لزج در حلقه‌های عمودی هم‌مرکز انجام شده‌است. آنها به صورت گرافیکی اثر عدد هارتمن و عدد پراتل را در پروفیل‌های مختلف نشان دادند. علوی و همکاران [6] به صورت عددی، جابجایی طبیعی برای یک لوله‌ی صاف گرما داده‌شده و قرار داده‌شده در یک سیلندر دایره‌ای خنک‌کننده‌ی همدم، در محدوده‌های مختلف عدد رایلی، نسبت شعاع هیدرولیکی و زوایای جهت مختلف لوله‌ی تخت گرم‌شده را مورد بررسی قرار دادند. نتایج بدست‌آمده نشان داد که نرخ افزایش برای عدد ناسلت در زاویه‌ی جهت 90 درجه و نسبت شعاع هیدرولیکی 7.5 برابر با 24.78% است. طاهرزاده و سعیدی [7] اثرات رایلی، پراتل و ناسلت را روی خطوط جریان و خطوط همدم در جابجایی طبیعی، در یک محفظه‌ی حلقوی با دیوارهای بالا و پایین عایق را مورد مطالعه قرار دادند. غفوری و سالاری [8] افزایش انتقال حرارت در محفظه‌ی دوبعدی درپوش متحرک پر شده با نانوسیال اکسید آب-مس را بصورت عددی مورد مطالعه قرار دادند. قطره‌های مختلف نانوذرات توسط قلمباز و همکارانش برای بررسی اثرات آنها مورد مطالعه قرار گرفت [9]. مالوندی و همکارانش [10] اثر مغناطیسی بر روی جابجایی را در حلقه‌های پر شده از نانوسیال  $Al_2O_3$  مطالعه کردند. آب نزدیک به ماکزیمم دانسیته، پدیده‌ای مهم است که در برخی مطالعات در مورد آن توضیح داده شده است. این توضیحات به شرح ذیل می‌باشند: مقایسه‌ی انتقال حرارت نانوسیال در تقریبهای بوزینسک و نان بوزینسک در محفظه‌های موج‌دار توسط کاشانی و همکارانش برای پیدا کردن تغییرات در نرخ انتقال حرارت مورد بررسی قرار گرفت [11]. کفایتی [12] جابجایی ترکیبی را در یک مربع با پوشش متحرک با نانوسیال برای افزایش انتقال حرارت مورد مطالعه قرار داد.

کریم و همکارانش [13] در مورد انتقال حرارت در محفظه‌ی درپوش متحرک دوزنقه‌ای که با نانوسیال‌های مختلف پر شده‌است را بصورت عددی مورد مطالعه قرار دادند.

بسیاری از محققان تلاش کرده‌اند تا روشهای افزایش انتقال حرارت را برای بهینه‌سازی عملکرد حرارتی مخازن پر شده با سیال، از جمله انتقال حرارت جابجایی طبیعی را مورد بررسی قرار دهند. یکی از کمبودهای معروف سیالات در انتقال حرارت جابجایی که منجر به عملکرد ضعیف حرارتی سیستم می‌شود، هدایت حرارتی کم آنهاست. مطالعات متعددی برای غلبه بر این ضعف در روش‌های مختلف مانند تکنیک نانوسیال انجام شده‌است. فناوری نانو، پتانسیل بالایی برای افزایش انتقال حرارت و در نتیجه عملکرد حرارتی بالا را در نتیجه‌ی حضور نانوذرات در سیالات فراهم می‌کند. پراکندگی نانو ذرات در سیال پایه، بنام نانوسیال، ویژگی‌های انتقال حرارت را در مقایسه با سیالات دیگر در انتقال حرارت جابجایی بهبود می‌بخشد. کار تجربی در کلاس جدید ذرات نانو آلومینای کامپوزیتی، توسط فراهانی در سال 2016 انجام شد [14]. رانا و همکارانش [15] بصورت تحلیلی و عددی، جابجایی پخش‌ی سه‌بعدی در یک لایه‌ی افقی از نانوسیال گرم‌شده را مورد مطالعه قرار دادند. فیلترهای نانو بخشی از مطالعات جدید برای افزایش خواص مختلف مایعات و جامدات هستند. عظیمی و همکارانش [16] ساختار نانو لوله‌های کربنی چند لایه‌ای را مورد تجزیه و تحلیل قرار دادند.

تاکنون تلاش چندانی برای مطالعه‌ی جابجایی طبیعی نانوسیال در نزدیکی وارونگی دانسیته‌ی آب با استفاده از مدل همگن نان بوزینسک در حلقه‌های استوانه‌ای افقی هم‌مرکز انجام نشده‌است. مطالعه‌ی حاضر با هدف بررسی عددی تاثیر وارونگی دانسیته‌ی آب بر روی انتقال حرارت جابجایی طبیعی و ساختار میدان جریان در یک حلقه‌ی استوانه‌ای دو-بعدی پر از مخلوط آب و نانوذرات انجام شده‌است. همچنین اثرات محدوده‌ی انتخابی درصد حجمی نانو ذرات ( $\phi=0, 0.01, 0.05, 0.08$ ) روی نرخ انتقال حرارت بوسیله‌ی اعداد ناسلت میانگین و محلی بررسی شده‌است. در این بررسی توجه خاصی به مطالعه‌ی تاثیر پراکندگی نانوذرات و وارونگی دانسیته در جریان سیال و ویژگی‌های انتقال حرارت در ( $\theta=0, 90, 180$ ) خطوط جریان، خطوط همدم و پروفیل‌های سرعت و دما در حلقه‌ها شده‌است. علاوه‌براین، مدل کورکیون [17] برای ویسکوزیته‌ی دینامیکی نانوسیال بکار برده شده‌است.

### ۲- معادلات حاکم:

شکل شماتیک مدل بررسی‌شده، همراه با محورهای مختصات بکار برده شده در این بررسی، در شکل 1 نشان داده شده‌است.

$$\frac{\partial(C_{p,nf}T)}{\partial t} + u \frac{\partial(C_{p,nf}T)}{\partial x} + v \frac{\partial(C_{p,nf}T)}{\partial y} = \frac{\partial}{\partial x} \left[ \frac{(k_{nf,0} + k_d) \partial T}{(\rho C_p)_{nf} \partial x} \right] + \frac{\partial}{\partial y} \left[ \frac{(k_{nf,0} + k_d) \partial T}{(\rho C_p)_{nf} \partial y} \right] \quad (4)$$

رابطه‌ی دما- دانسیته‌ی غیرخطی نانوسیال فقط در ترم شناوری معادله‌ی (4) استفاده شده‌است که بصورت زیر نوشته شده‌است:

$$\begin{aligned} \rho_{nf}(T) &= (1 - \phi)\rho_f(T) + \phi\rho_s \Rightarrow \\ \{\rho_f(T) &= \rho_{f,0} + 0.0673268037314653T \\ &\quad - 0.0089448455601798T^2 \\ &\quad + 8.78462866500416 \\ &\quad \times 10^{-5}T^3 \\ &\quad - 6.62139792627547 \\ &\quad \times 10^{-7}T^4 \\ \rho_f(T) &= \rho_{f,0}(1 + \beta(T - T_0)) \end{aligned} \quad (5)$$

در معادلات بالا، تغییرات دانسیته‌ی آب با دما توسط کوالسکی [18] و همکارانش ارائه شده‌است، درحالیکه ظرفیت گرمایی نانوسیال و ضریب انبساط گرمایی نانوسیال می‌تواند به شکل زیر برآورد شود:

$$(\rho C_p)_{nf} = (1 - \phi)(\rho C_p)_f + \phi(\rho C_p)_s \quad (6)$$

$$(\rho\beta)_{nf} = (1 - \phi)(\rho\beta)_f + \phi(\rho\beta)_s \quad (7)$$

ویسکوزیته‌ی دینامیکه موثر نانوسیال حاوی یک واکنش رقیق از ذرات کروی کوچک و سخت است که توسط مدل اخیر کورکیون [17] ارائه شده‌است که دقیقتر بنظر میرسد:

$$\frac{\mu_{nf}}{\mu_f} = \frac{1}{1 - 34.87 \left(\frac{d_p}{d_f}\right)^{-0.3} \phi^{1.03}}, \quad 0 \leq \phi \leq 0.08 \quad (8)$$

جایی که  $d_f$  قطر معادل مولکول سیال مبنا است و توسط رابطه‌ی زیر بیان می‌شود:

$$d_f = 0.1 \left[ \frac{6M}{N\pi\rho_{f,0}} \right]^{1/3} \quad (9)$$

ضریب هدایت گرمایی موثر برای نانوذرات کروی در معادله‌ی (10) داده شده‌است [19]:

$$\begin{aligned} \frac{k_{nf,0}}{k_f} &= \frac{k_s + 2k_f - 2\phi(k_f - k_s)}{k_s + 2k_f + \phi(k_f - k_s)} \\ k_{eff} &= k_{nf,0} + k_d \end{aligned} \quad (10)$$

عبارت افزایش ضریب هدایت گرمایی بدلیل پراکنندگی حرارتی به شکل معادله‌ی (11) است [20]:

$$k_d = C(\rho C_p)_{nf} \sqrt{u^2 + v^2} \phi d_p \quad (11)$$

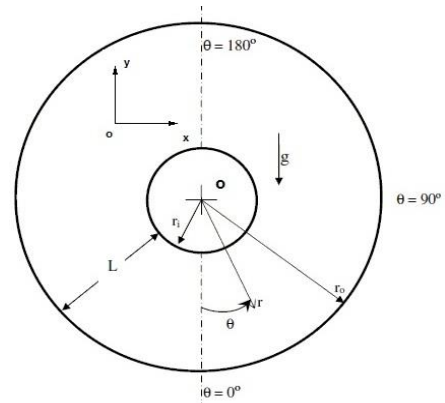


Fig. 1 Schematic of studied model

شکل ۱ طرحواره‌ی مدل مورد مطالعه

جدول ۱ خواص ترموفیزیکی نانوذرات مس و سیال پایه (آب)

Table 1 Thermo physical properties of Cu nano particles and base fluid (water)

خواص فیزیکی	نانوذرات مس	سیال پایه‌ی آب
$\rho$ [kg/m <sup>3</sup> ]	8954	997.1
$\mu$ [Pa.s]	-	0.0017888
$C_p$ [J/kg K]	383	4212
$k$ [W/m K]	400	0.566
$\beta$ [1/K]	1.67e-5	6.73335e-5
Pr	-	13.31

مدل فیزیکی در نظر گرفته شده، جایجایی طبیعی در حلقه‌ی استوانه‌ای دوبعدی با نسبت منظر  $L/d=0.8$  و پر شده با نانوسیال است. نانوسیال شامل نانوذرات و سیال پایه به عنوان یک محیط پیوسته، نیوتنی و غیرقابل تراکم است و در تعادل حرارتی در نظر گرفته شده است. همچنین شرط عدم لغزش نیز اعمال می‌شود. همانطور که در جدول 1 نشان داده شده‌است، خواص ترموفیزیکی نانوسیال ثابت (به جز دانسیته) در نظر گرفته شده‌است که با روش چندجمله‌ای مرتبه‌ی چهارم و مدل تقریب نان‌بوزینسک مدل شده است (معادله‌ی 6). سطوح درونی و بیرونی استوانه‌ها به ترتیب در دمای ثابت گرم ( $T_H$ ) و سرد ( $T_C$ ) فرض شده‌اند. دمای اولی  $T_{int}=10$  در  $\Delta T = T_{out} - T_{in}$  در نظر گرفته شده‌است. با توجه فرض‌های ذکرشده‌ی بالا، معادلات حاکم جریان پایدار شناور توسط جایجایی طبیعی شامل بقای جرم، مومنتوم و انرژی به صورت زیر نوشته می‌شوند:

$$\frac{\partial u}{\partial x} + \frac{\partial v}{\partial y} = 0 \quad (1)$$

$$u \frac{\partial u}{\partial x} + v \frac{\partial v}{\partial y} = \frac{1}{\rho_{nf,0}} \left( -\frac{\partial P}{\partial x} + \mu_{nf} \nabla^2 u \right) \quad (2)$$

$$u \frac{\partial v}{\partial x} + v \frac{\partial v}{\partial y} = \frac{1}{\rho_{nf}} \left( -\frac{\partial P}{\partial y} + \mu_{nf} \nabla^2 v + (\rho\beta)_f g(T - T_{ref})_y \right) \quad (3)$$

$$u \frac{\partial v}{\partial x} + v \frac{\partial v}{\partial y} = \frac{1}{\rho_{nf,0}} \left( -\frac{\partial P}{\partial y} + \mu_{nf} \nabla^2 v - g(\rho_{nf}(T) - \rho_{nf,0}) \right)$$

مقدار عدد تولید انتروپی کل بدون بعد، که از طریق انتگرال گیری تولید انتروپی موضعی در دامنه ی محاسباتی کل بدست آمده است؛ توسط رابطه ی زیر بدست می آید:

$$\dot{S}_{T,a} = \int_V S_{l,a} dV \quad (22)$$

### ۳- روش حل عددی و بررسی استقلال از شبکه:

در این بررسی از یک کد فرتن، بر مبنای روش حجم محدود و با استفاده از الگوریتم سیمپل برای حل معادلات استفاده شده است. معادلات گسسته شده با استفاده از روش بسیار ضمنی (SIP) حل شده اند. روش گسسته سازی بادسوی مرتبه ی اول و روش تفاضل مرکزی مرتبه ی دوم به ترتیب برای معادلات پخشی و جابجایی غیر خطی بکار برده شده اند. با توجه به تغییرات شیب جریان نزدیک دیواره های محفظه، برای افزایش دقت از شبکه ی ریزتری استفاده شده است. بنابراین، شبکه ی مورد بررسی به سمت دیواره های داخلی و خارجی استوانه ریزتر می شود (شکل 2).

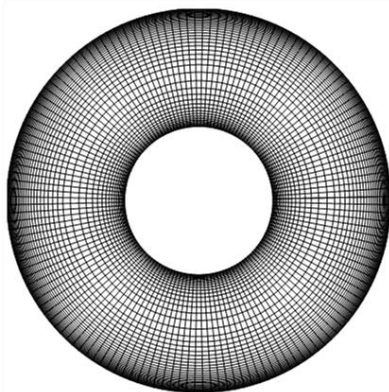


Fig. 2 Computational grid  
شکل ۲ شبکه ی محاسباتی

قابل ذکر است که بررسی های استقلال از شبکه با بررسی ترکیبات مختلف عدد  $R$  و  $\theta$ ، سه شبکه ی مختلف  $81 \times 81$ ،  $101 \times 101$ ،  $121 \times 121$  و  $151 \times 151$  انجام شده است و با مشاهده ی تفاوت کمتر از 1٪ بین نتایج بدست آمده در دو شبکه ی کوچکتر، شبکه ی  $121 \times 121$  برای همه ی شبیه سازی ها مورد استفاده قرار گرفته است. معیار همگرایی برای کاهش خطای نسبی ماکزیمم در مقادیر همه ی متغیرهای وابسته بین دو تکرار متوالی زیر  $10^{-7}$  در نظر گرفته شده است.

### ۴- اعتبارسنجی:

به منظور اثبات صحت کد محاسباتی فعلی، نتایج انتقال حرارت جابجایی طبیعی حاصل از کد کنونی با نتایج جابجایی طبیعی در محفظه ی موجی مقایسه شده است. شکل 3 نتایج شبیه سازی کنونی را با مطالعه ی میکالک و همکارانش [21] مقایسه می کند. با توجه به پروفیل های سرعت با  $H=W=38\text{mm}$  و  $\Delta T = 10\text{C}^\circ$  همانطور که مشاهده می شود، مطابقت مناسبی بین دو داده ی مورد مقایسه وجود دارد و این بیانگر صحت و دقت بالای کد فعلی استفاده شده است.

ثابت  $C$  به صورت تجربی به شرح زیر و توسط واکاوو و کاگوی [21] مورد ارزیابی قرار گرفته است. معادله ی ذکر شده در بالا می تواند به شکل معادله ی بی بعد با استفاده از پارامترهای بی بعد به صورت زیر نوشته شود:

$$X = \frac{x}{L}, Y = \frac{y}{L}, U = \frac{uL}{\alpha_f}, V = \frac{vL}{\alpha_f}, P = \frac{pL^2}{\rho_f \alpha_f^2},$$

$$\theta = \frac{T - T_c}{T_h - T_c}, Pr = \frac{\nu_f}{\alpha_f} = 13.31, Ra = \frac{g\beta_f \Delta T L^3}{\alpha_f \nu_f} = 10^5,$$

$$\rho^* = \frac{\rho_{nf}}{\rho_f}, \mu^* = \frac{\mu_{nf}}{\mu_f}$$

معادلات بی بعد پیوستگی، مومنتوم و انرژی به شکل زیر بدست می آیند:

$$\frac{\partial U}{\partial X} + \frac{\partial V}{\partial Y} = 0 \quad (13)$$

$$U \frac{\partial U}{\partial X} + V \frac{\partial V}{\partial Y} = \frac{1}{\rho^*_{nf,0}} \left( -\frac{\partial P}{\partial X} + \mu^*_{nf} Pr \nabla^2 U \right) \quad (14)$$

$$U \frac{\partial \theta}{\partial X} + V \frac{\partial \theta}{\partial Y} = \frac{(\rho C_p)_{f,0} (k_{nf,0} + k_d)}{k_f (\rho C_p)_{nf,0}} \left( \frac{\partial^2 \theta}{\partial X^2} + \frac{\partial^2 \theta}{\partial Y^2} \right) \quad (15)$$

شرط عدم لغزش روی دیواره های حلقه فرض شده است. همچنین، روی هر دو استوانه ی داخلی (معادله ی (16)) و استوانه ی خارجی (معادله ی (17)) شرایط مرزی بی بعد در نظر گرفته شده اند:

$$U=V=0, \theta = 1 \quad (16)$$

$$U=V=0, \theta = 0 \quad (17)$$

عدد ناسلت محلی و میانگین در طول دیواره ی گرم به ترتیب توسط رابطه های (18) و (19) محاسبه می شوند:

$$Nu = \frac{-k_{nf,0} \frac{\partial \theta}{\partial X} \Big|_{X=0}}{k_f} \quad (18)$$

$$\overline{Nu} = \int_0^1 \frac{-k_{nf,0} \frac{\partial \theta}{\partial X} \Big|_{X=0}}{k_f} dY \quad (19)$$

رابطه ی تولید انتروپی محلی برای نانوسیال و در حالت کلی می تواند به صورت زیر بیان شود:

$$\dot{S}_l = \frac{K_{nf,0}}{T_0^2} \left[ \left( \frac{\partial T}{\partial x} \right)^2 + \left( \frac{\partial T}{\partial y} \right)^2 \right] + \frac{\mu_{nf}}{T_0} \left[ 2 \left( \frac{\partial u}{\partial x} \right)^2 + 2 \left( \frac{\partial v}{\partial y} \right)^2 + \left( \frac{\partial u}{\partial y} + \frac{\partial v}{\partial x} \right)^2 \right] \quad (20)$$

با توجه به روابط بدون بعد، شکل بدون بعد از تولید انتروپی محلی به صورت زیر بیان شود:

$$\dot{S}_{l,a} = \left[ \left( \frac{\partial \theta}{\partial X} \right)^2 + \left( \frac{\partial \theta}{\partial Y} \right)^2 \right] + \frac{\mu_{nf} T_0}{k_{nf,0}} \left( \frac{\alpha_{nf}}{L(T_h - T_c)} \right) \left[ 2 \left( \frac{\partial U}{\partial X} \right)^2 + 2 \left( \frac{\partial V}{\partial Y} \right)^2 + \left( \frac{\partial U}{\partial Y} + \frac{\partial V}{\partial X} \right)^2 \right] \quad (21)$$

که منجر به الگوی مشابهی از میدانهای جریان و دما برای دو بخش محفظه می‌شود، نتایج فقط برای نیمی از محفظه مورد بحث قرار می‌گیرد.

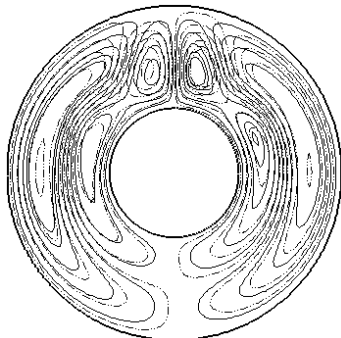


Fig. 4-a  
شکل 4-a

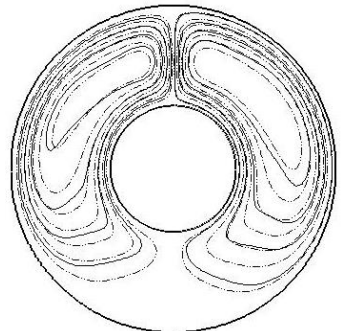


Fig. 4-b  
شکل 4-b

Fig. 4 Effects of dispersion of Cu nanoparticle on Streamlines for different Volume fractions; Solid line:  $\phi = 0.0$ ; Dash-Dot line:  $\phi = 0.08$  with non-Boussinesq(4-a) and Boussinesq approximation (4-b)

شکل 4 اثرات پراکندگی نانوذرات مس در خطوط جریان برای درصدهای حجمی مختلف  $\phi = 0.0$  (خطوط توپر) و  $\phi = 0.08$  (خط نقطه) با تقریب نان بوزینسک (a-4) و بوزینسک (b-4)

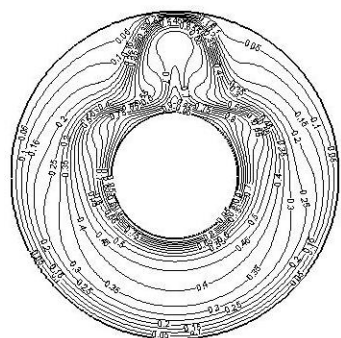


Fig. 5-a  
شکل 5-a

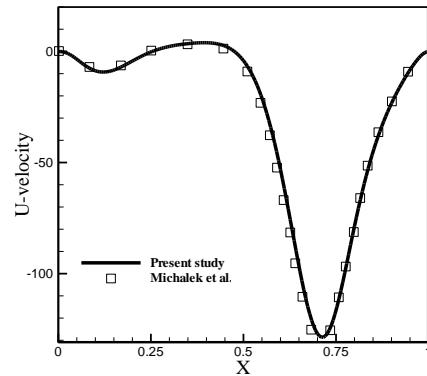


Fig. 3-a  
شکل 3-a

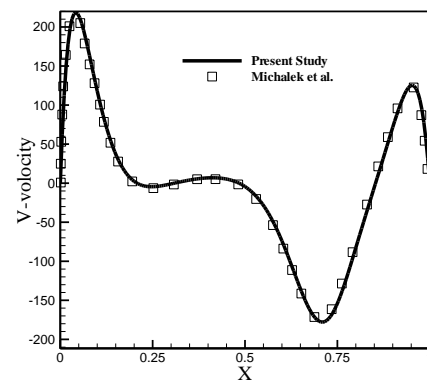


Fig. 3-b  
شکل 3-b

Fig. 3 Comparison of the velocity profiles of water at midline for  $H=W=38$  mm and  $\Delta T = 10C^\circ$  obtained by present study and the work of Michalek and Kowalewski [23] for X- velocity (3-a) and Y-velocity (3-b).

شکل 3 مقایسه ی پروفیل های سرعت آب در خط مرکزی کار حاضر و مطالعه ی میکالک و کوالسکی [23] برای  $H=W=38$ mm و  $\Delta T = 10C^\circ$

#### ۵- نتایج:

اثرات پراکندگی نانوذرات فوق العاده ریز به سیال خالص (آب) بر ویژگی های انتقال حرارت و جریان سیال در حلقه ی هم مرکز و برای درصد حجمی نانوذرات مختلف از 0.0 تا 0.08 مورد بررسی قرار گرفته است. علاوه بر پراکندگی نانوذرات، تأثیر وارونگی دانسیته ی آب در 4 درجه ی سلسیوس روی پارامترهای گرما و جریان نانوسیال از طریق مقایسه ی نتایج تقریب بوزینسک و نان بوزینسک مورد بررسی قرار گرفته است.

خطوط جریان و خطوط همدمای مایع خالص ( $\phi = 0.0$ ) و نانوسیال ( $\phi = 0.08$ ) با توجه به تقریب های بوزینسک و نان بوزینسک، در شکل های 4 و 5 نشان داده شده اند. خطوط جریان برای مقادیر مشابه توابع جریان، برای هر دو مایع خالص و نانوسیال نشان داده شده اند. همانطور که به وضوح دیده می شود، جریان در نزدیکی سیلندر داخلی به سمت بالا حرکت می کند و در مجاورت سیلندر بیرونی به سمت پایین حرکت می کند. این پدیده عمدتاً به علت نیروهای شناوری است که منتهی به شکل گیری ساختار جریان یک و یا چند سلولی می شوند. در فاصله ی به اندازه کافی دور از سیلندر داخلی و بیرونی (به عنوان مثال، در قسمت مرکزی محفظه)، جریان تحت تأثیر لایه های مرزی حرارتی قرار نگرفته و از این رو گرادین دمایی شدید نیست. به دلیل شرایط مرزی متقارن در محور Y

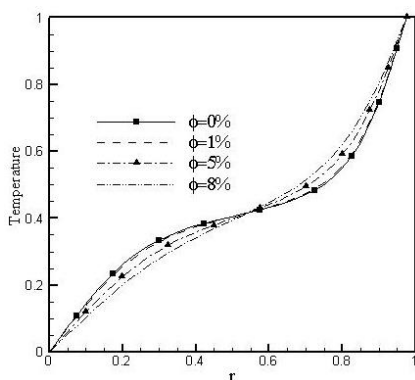


Fig. 6-a  
a-6 شکل

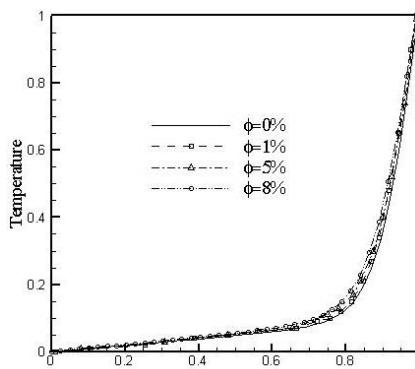


Fig. 6-b  
b-6 شکل

Fig. 6 Effects of dispersion of Cu nanoparticle on the temperature profiles at  $\theta=0$  of cylindrical for different Volume fractions for non-Boussinesq approximation (6-a) and Boussinesq approximation (6-b).

شکل 6 اثرات پراکندگی نانوذرات مس روی پروفیل‌های دمایی  $\theta=0$  استوانه‌ای برای درصدهای حجمی مختلف و برای تقریبهای نان بوزینسک (a-6) و بوزینسک (b-6)

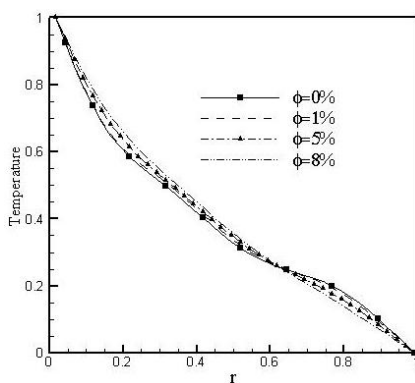


Fig. 7-a  
a-7 شکل

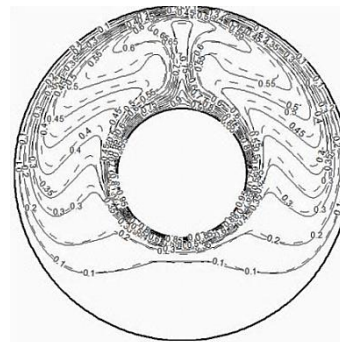


Fig. 5-b  
b-5 شکل

Fig. 5 Effects of dispersion of Cu nanoparticle on Isotherms for different Volume fractions; Solid line:  $\phi = 0.0$ ; Dash-Dot line:  $\phi = 0.08$  with non-Boussinesq (5-a) and Boussinesq approximation (5-b)

شکل 5 اثرات پراکندگی نانوذرات مس در خطوط همدمای برای درصدهای حجمی مختلف  $\phi = 0.0$  (خطوط توپر) و  $\phi = 0.08$  (خط نقطه) با تقریب نان بوزینسک (a-5) و بوزینسک (b-5)

در نمونه‌ی تقریب نان بوزینسک برای سیال خالص، ساختار جریان شامل دو سلول گردشی است. گرما توسط سیال از داخل سلول گردشی ساعتگرد داخلی با دو هسته از سیلندر داخلی منتقل می‌شود و در امتداد خطوط همدمای اکسترم دانسیته برمی‌گردد. دومین سلول گردشی پادساعتگرد در نزدیکی سیلندر بیرونی قرار دارد. یک نقطه‌ی زینی در نزدیکی دیوار سرد، تقریباً در بالای سیلندر، در نتیجه‌ی تعامل بین سیال داغ نزولی و سیال سرد بالا رفته تشکیل شده‌است. در مورد تقریب بوزینسک، جریان تک سلولی توسط یک سلول گردشی بیضوی ساعتگرد با مرکز واقع در بالای آن تشکیل شده‌است، که در مقایسه با تقریب نان بوزینسک کشیده‌تر است. با وجود تقریب نان بوزینسک، توزیع‌های دمایی طبقه‌بندی شده‌ی افقی دیده می‌شود. از خطوط جریان می‌توان دریافت که در حضور نانوذرات، اندازه‌ی سلول‌های گردشی بزرگتر از آن در مایع خالص است. این واقعیت ناشی از افزایش درصد حجمی نانوذرات است که باعث انتقال بیشتر انرژی و در نتیجه افزایش مولفه‌ی سرعت نانو سیال می‌شود. با توجه به تأثیر قابل توجه افزوده شدن نانوذرات به مایع خالص بر افزایش هدایت حرارتی، ضخامت لایه‌ی مرز حرارتی در کنار دیوار گرم، به حضور نانوذرات و حجم آن حساس است. به عبارت دیگر، افزایش هدایت حرارتی با افزایش نفوذ گرما همراه است. توزیع دما در  $\theta=0$ ، 90، 180 و تغییر سرعت در  $\theta=90$ ، با استفاده از درصدهای حجمی نانو ذرات مختلف برای تقریب بوزینسک و نان بوزینسک، به ترتیب در شکل‌های 6، 7، 8 و 9 نشان داده شده‌اند. از این شکل‌ها، اثر وارونگی دانسیته‌ی آب و درصد حجمی نانو ذرات بر روی پروفیل‌های سرعت و دما می‌تواند مورد بررسی قرار گیرند. این نتایج برای آب با عدد پرانتل 13.31 بدست آمده‌است. با افزایش درصد حجمی نانو ذرات، مقادیر پیک پروفیل سرعت کاهش می‌یابند و به سمت میانه‌ی استوانه‌ای هم‌مرکز حرکت می‌کند. علاوه بر این، در مورد دانسیته‌ی وابسته به دمای غیر خطی، مقدار درصد حجمی نانو ذرات تأثیر زیادی بر موقعیت نقطه‌ی زینی تعیین شده توسط تعادل تقابل نیروهای شناوری مثبت و منفی دارد.

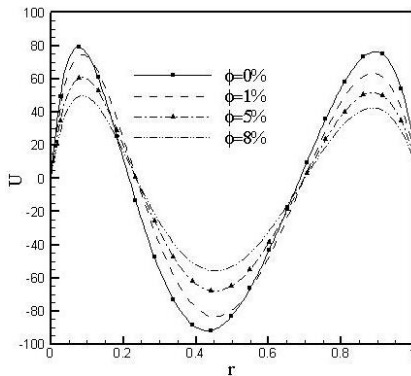


Fig. 9-a  
a-9 شکل

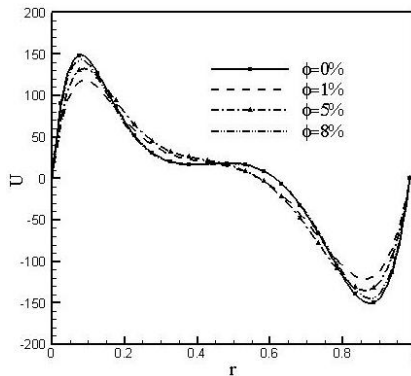


Fig. 9-b  
b-9 شکل

Fig. 9 Effects of dispersion of Cu nanoparticle on the velocity profiles at  $\theta=90$  for different Volume fractions for non-Boussinesq Approximation (9-a) and Boussinesq Approximation(9-b)

شکل 9 اثرات پراکندگی نانوذرات مس روی پروفیل‌های سرعت در  $\theta=90$  برای درصد‌های حجمی مختلف و برای تقریب‌های نان بوزینسک (a-9) و بوزینسک (b-9)

علاوه بر این، پروفیل‌های دمایی نیز افزایش در ضخامت لایه مرزی حرارتی در حضور نانوذرات را تایید می‌کنند. در مورد تقریب نان بوزینسک و اطراف نقطه‌ی زینی، جابجایی در اثر نانوذرات دیده می‌شود. اگر چه افزایش نفوذ حرارتی در حضور نانوسیال، در اطراف نقطه‌ی زینی نانوسیال با  $\phi=0.05$  سردتر از نانوسیال با  $\phi=0.08$  است. تغییرات عدد ناسلت در امتداد دیواره‌های گرم و سرد با استفاده از درصد‌های حجمی مختلف نانو ذرات برای تقریب‌های بوزینسک و نان بوزینسک در شکل‌های 10 و 11 نشان داده شده‌است. در مورد تقریب بوزینسک، همان روند نوسانات عدد ناسلت محلی در امتداد دیواره‌های گرم و سرد دیده می‌شود که با افزایش درصد حجمی نانوذرات کاهش می‌یابد. به رغم تقریب بوزینسک، عدد ناسلت محلی بر روی دیواره‌های گرم و سرد به نظر می‌رسد روند پیچیده-ای برای تقریب نان بوزینسک دارد. این رفتار متفاوت عدد ناسلت محلی می‌تواند به عنوان یک نتیجه از تغییر غیر خطی دانسیته با دما و شکل-گیری گردابه‌ی CCW در کنار دیوار سرد باشد. مشاهده می‌شود که قبل از نقطه‌ی زینی تا حدود 150 درجه، عدد ناسلت محلی با افزایش میزان نانو ذرات کاهش یافته‌است. در حالی که پس از این نقطه با افزایش درصد حجمی، این عدد افزایش می‌یابد.

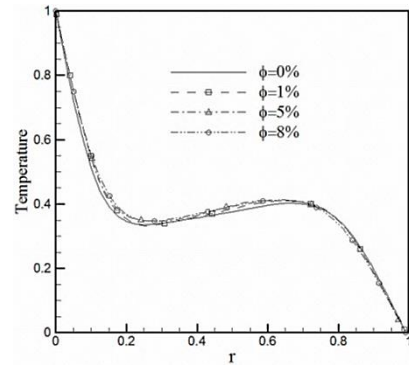


Fig. 7-b  
b-7 شکل

Fig. 7 Effects of dispersion of Cu nanoparticle on the temperature profiles at  $\theta=90$  of cylindrical for different Volume fractions for non-Boussinesq approximation (7-a) and Boussinesq approximation (7-b).

شکل 7 اثرات پراکندگی نانوذرات مس روی پروفیل‌های دمایی  $\theta=90$  استوانه ای برای درصد‌های حجمی مختلف و برای تقریب‌های نان بوزینسک (a-7) و بوزینسک (b-7)

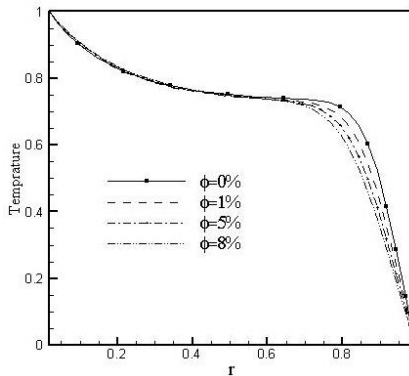


Fig. 8-a  
a-8 شکل

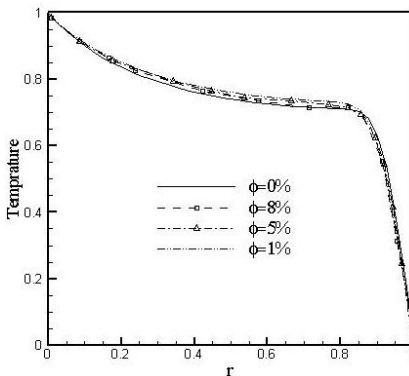


Fig. 8-b  
b-8 شکل

Fig. 8 Effects of dispersion of Cu nanoparticle on the temperature profiles at  $\theta=180$  of cylindrical for different Volume fractions for non-Boussinesq approximation (8-a) and Boussinesq approximation (8-b).

شکل 8 اثرات پراکندگی نانوذرات مس روی پروفیل‌های دمایی  $\theta=180$  استوانه ای برای درصد‌های حجمی مختلف و برای تقریب‌های نان بوزینسک (a-8) و بوزینسک (b-8)

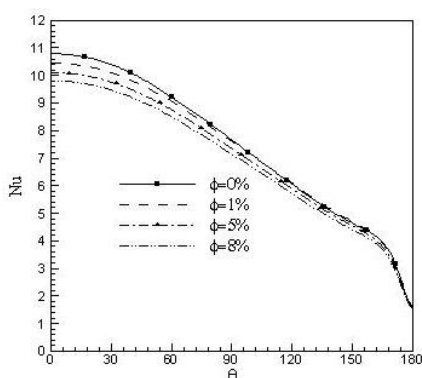


Fig. 11-a  
a-11 شکل

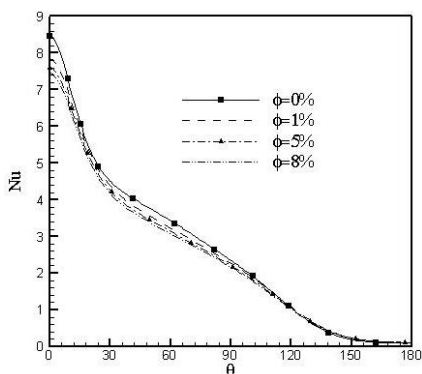


Fig. 11-b  
b-11 شکل

**Fig. 11** Effects of dispersion of Cu nanoparticle on the local Nusselt distribution at for different Volume fractions for Boussinesq approximation and hot (11-a) and cold (11-b) walls

شکل 11 اثرات پراکندگی نانوذرات مس بر روی توزیع ناسلت محلی برای درصد‌های حجمی مختلف و برای تقریب نان بوزینسک و برای دیوار داغ (a-11) و دیوار سرد (b-11)

جدول 2 مقایسه ی اثرات دانسیته ی وابسته ی دمای غیر خطی و درصد حجمی نانوذرات روی عدد ناسلت میانگین حول استوانه ی داخلی

**Table 2** Comparison of the effects nonlinear temperature dependent density and nanoparticle volume fraction on average Nusselt number around inner cylinder

	تقریب بوزینسک	تقریب نان بوزینسک
$\phi = 0.0$	8.02	4.022
$\phi = 0.01$	7.8422	3.8845
$\phi = 0.05$	7.2694	3.4421
$\phi = 0.08$	6.8579	3.1572

کانتور تولید آنتروپی محلی برای دو فرض بوزینسک و نان بوزینسک در شکل 12 نشان داده شده است. تولید آنتروپی در مسائل مهندسی به دو دلیل انتقال حرارت و اصطکاک مایع برگشت نا پذیری می باشد. لازم به ذکر است که در مطالعه حاضر، مقدار تولید آنتروپی به علت اصطکاک مایع نسبت به تولید آنتروپی به دلیل انتقال حرارت به خاطر اثر غالب انتقال حرارت طبیعی نا چیز می باشد. همان طور که از شکل پیداست تولید آنتروپی در نزدیکی دیوار گرم داخلی و سرد خارجی به دلیل

همانطور که قبلا مورد بحث قرار گرفت، افزایش میزان درصد حجمی نانوذرات، میزان پخش حرارتی را افزایش می دهد که موجب افت گرادیان درجه حرارت می شود و بنابراین ضخامت مرز را همانطور که در شکل های 6، 7 و 8 نشان داده شده است، افزایش می دهد. این افزایش در ضخامت لایه مرزی حرارتی باعث کاهش عدد ناسلت می شود. بنابراین، عدد ناسلت مضر از گرادیان دمایی و نرخ هدایت حرارتی (هدایت نانوسیال نسبت به هدایت سیال پایه) است. از آنجائیکه کاهش گرادیان درجه حرارت به علت وجود نانوذرات بسیار کمتر از نسبت هدایت حرارتی است، بنابراین افزایش در عدد ناسلت با افزایش درصد حجمی نانوذرات افزایش می یابد. دیده شده است که در دیوار سرد نزدیک ناحیه ی گردش ی CCW، مخلوط نانوسیال با درصد حجمی 5٪ دارای بهترین عملکرد انتقال حرارت است و افزایش درصد حجمی نانوذرات بیشتر از این مقدار، منجر به کاهش انتقال حرارت می شود. اثرات دانسیته ی وابسته به دمای غیر خطی و درصد حجمی نانو ذرات بر روی میزان انتقال حرارت کلی در جدول 2 نشان داده شده است. از این جدول روشن است که افزایش درصد حجمی نانو ذرات، انتقال حرارت را در همه ی موارد کاهش می دهد. همچنین عدد ناسلت میانگین در مورد دانسیته ی وابسته به دمای غیر خطی بسیار کمتر از مورد تقریب بوزینسک است.

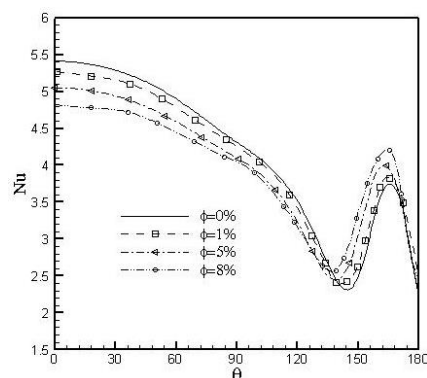


Fig. 10-a  
a-10 شکل

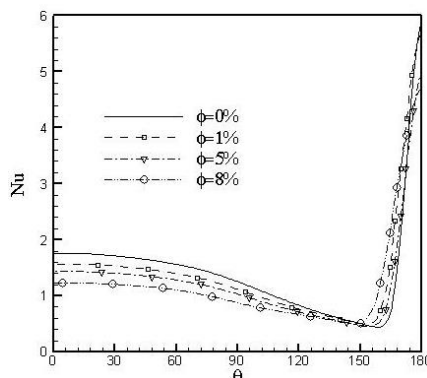


Fig. 10-b  
b-10 شکل

**Fig. 10** Effects of dispersion of Cu nanoparticle on the local Nusselt distribution at for different Volume fractions for non-Boussinesq Approximation and hot (10-a) and cold (10-b) walls

شکل 10 اثرات پراکندگی نانوذرات مس بر روی توزیع ناسلت محلی برای درصد‌های حجمی مختلف و برای تقریب نان بوزینسک و برای دیوار داغ (a-10) و دیوار سرد (b-10)



جدول 3 مقایسه ی اثرات دانسیته ی وابسته ی دمای غیر خطی و درصد حجمی نانوذرات روی تولید آنتروپی میانگین

**Table 2 Comparison of the effects nonlinear temperature dependent density and nanoparticle volume fraction on average Entropy generation**

	تقریب بوزینسک	تقریب نان بوزینسک
$\phi = 0.0$	4.639321	2.238488
$\phi = 0.01$	4.51931	2.1584
$\phi = 0.05$	4.32932	2.0484
$\phi = 0.08$	4.172519	1.9456

۶- نتیجه گیری:

در این مقاله، شبیه سازی عددی جابجایی طبیعی آرام در یک حلقه- ی استوانه ای هم مرکز دو بعدی پر شده از نانوسیال آب- مس و در نزدیکی ماکزیمم دانسیته ی آب، با استفاده از متود حجم محدود فشار مبنا انجام شده است. اثرات وابستگی دمای غیرخطی دانسیته ی آب و افزایش شدید آن در دمای 4 درجه ی سلسیوی برای تقریب های بوزینسک و نان بوزینسک مورد بررسی قرار گرفته است. همچنین اثر اضافه کردن نانوذرات به سیال خالص و درصد های حجمی آنان روی مشخصه های انتقال حرارت و میدان های جریان سیال مورد بررسی قرار گرفته است.

- میدان سیال و نرخ انتقال حرارت بطور قابل توجهی تحت تاثیر وارونگی دانسیته و پراکندگی نانوذرات هستند.
- در نمونه ی تقریب بوزینسک، افزایش درصد حجمی نانوذرات باعث کاهش عدد ناسلت محلی می شود.
- در نمونه ی تقریب نان بوزینسک، عدد ناسلت محلی با افزایش درصد حجمی نانوذرات کاهش می یابد (قبل از نقطه ی زینی در 150 درجه ی سلسیوس)، در حالیکه بعد از این نقطه با افزایش درصد حجمی افزایش می یابد.
- عدد آنتروپی میانگین در مورد دانسیته ی وابسته به دمای غیرخطی بسیار کمتر از مورد تقریب بوزینسک است.
- افزایش درصد حجمی نانو ذرات، تولید آنتروپی را در همه ی موارد کاهش می دهد.

۷- فهرست علائم:

- $\bar{C}_p$  گرمای ویژه در فشار ثابت (J/kg K)
- $C$  مقدار ثابت
- $d$  فاصله ی بین مرکز استوانه ی خارجی و داخلی (m)
- $d_p$  قطر نانوذرات (m)
- $D$  قطر سیلندر درونی (m)
- $e_v$  فاصله از مرکزی عمودی =  $d/(r_o-r_i)e_v$
- $g$  شتاب جاذبه ( $m/s^2$ )
- $k$  رسانایی حرارتی سیال (W/mk)
- $L$  فاصله بین سیلندر درونی و بیرونی (m)  $L=r_o-r_i$
- $Nu$  عدد نوسلت موضعی
- $\bar{Nu}$  عدد نوسلت میانگین

وجودگرادیان دمایی بالا متمرکز شده است کانتورهای آنتروپی محلی برای تقریب بوزینسک دارای الگوی متقارن هستند، در حالیکه برای تقریب غیر بوزینسک گسترده تر هستند تأثیر افزودن نانوذرات به سیال خالص که منجر به کاهش در تولید آنتروپی می شود از دو جهت قابل بررسی است افزایش هدایت حرارتی و نرخ انتقال حرارت از یک سو و افزایش ویسکوزیته نانو سیال از سوی دیگر می توان اشاره کرد که با افزودن نانو ذرات به خالص مایع منجر به کاهش تولید آنتروپی محلی می گردد.

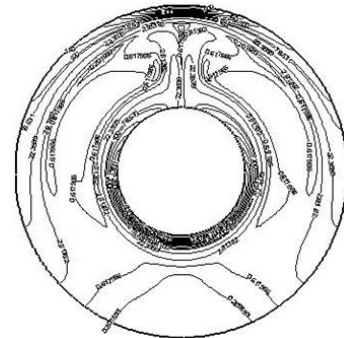


Fig. 12-a  
شکل 12-a

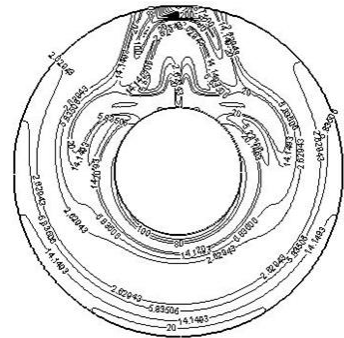


Fig. 12-b  
شکل 12-b

**Fig. 12 Entropy generation for Boussinesq and non-Boussinesq approximations, non-Boussinesq(5-a) and Boussinesq(5-b) approximation**

شکل 12 کانتور تولید آنتروپی با تقریب نان بوزینسک (12-a) و بوزینسک (12-b)

اثرات دانسیته ی وابسته به دمای غیرخطی و درصد حجمی نانو ذرات بر روی میزان تولید آنتروپی کلی در جدول 3 نشان داده شده است. افزایش درصد حجمی نانو ذرات، تولید آنتروپی را در همه ی موارد کاهش می دهد. همچنین عدد آنتروپی میانگین در مورد دانسیته ی وابسته به دمای غیرخطی بسیار کمتر از مورد تقریب بوزینسک است.

- [5] A. Kumar, Effect of radial magnetic field on natural convection flow in alternate conducting vertical concentric annuli with ramped temperature, *Engineering Science and Technology, an International Journal*, Vol. 19, No. 3, pp. 1436-1451, 2016.
- [6] O. A. Alawi, N. A. C. Sidik, H. Dawood, Natural convection heat transfer in horizontal concentric annulus between outer cylinder and inner flat tube using nanofluid, *International Communications in Heat and Mass Transfer*, Vol. 57, pp. 65-71, 2014.
- [7] M. Taherzadeha, M. Saidi, Natural circulation in vertical porous annular enclosure with heat generation, *Scientia Iranica. Transaction B, Mechanical Engineering*, Vol. 22, No. 1, pp. 208, 2015.
- [8] A. Ghafouri, M. Salari, Numerical investigation of the heat transfer enhancement using various viscosity models in chamber filled with water-CuO nanofluid, *Journal of the Brazilian Society of Mechanical Sciences and Engineering*, Vol. 36, No. 4, pp. 825-836, 2014.
- [9] M. Ghalambaz, A. Behseresht, J. Behseresht, A. Chamkha, Effects of nanoparticles diameter and concentration on natural convection of the Al<sub>2</sub>O<sub>3</sub>-water nanofluids considering variable thermal conductivity around a vertical cone in porous media, *Advanced Powder Technology*, Vol. 26, No. 1, pp. 224-235, 2015.
- [10] A. Malvandi, S. Moshizi, D. Ganji, Effect of magnetic fields on heat convection inside a concentric annulus filled with Al<sub>2</sub>O<sub>3</sub>-water nanofluid, *Advanced Powder Technology*, Vol. 25, No. 6, pp. 1817-1824, 2014.
- [11] S. Kashani, A. Ranjbar, M. Mastiani, H. Mirzaei, Entropy generation and natural convection of nanoparticle-water mixture (nanofluid) near water density inversion in an enclosure with various patterns of vertical wavy walls, *Applied Mathematics and Computation*, Vol. 226, pp. 180-193, 2014.
- [12] G. R. Kefayati, Mesoscopic simulation of mixed convection on non-Newtonian nanofluids in a two sided lid-driven enclosure, *Advanced Powder Technology*, Vol. 26, No. 2, pp. 576-588, 2015.
- [13] A. K. Kareem, H. A. Mohammed, A. K. Hussein, S. Gao, Numerical investigation of mixed convection heat transfer of nanofluids in a lid-driven trapezoidal cavity, *International Communications in Heat and Mass Transfer*, Vol. 77, No. Supplement C, pp. 195-205, 2016/10/01, 2016.
- [14] P. Ghabezi, M. Farahani, Composite adhesive-bonded joint reinforcement by incorporation of nano-alumina particles, *Journal of Computational Applied Mechanics*, Vol. 47, No. 2, pp. 231-239, 2016.
- [15] G. C. Rana, R. Chand, V. Sharma, A. Sharda, On the onset of triple-diffusive convection in a layer of nanofluid, *Journal of Computational Applied Mechanics*, Vol. 47, No. 1, pp. 67-77, 2016.
- [16] S. Azimi, A. Rastgoo, S. Sattari, A. Rashidi, Defects and Structural Analysis of Multi-Wall Carbon Nano Tubes via Ball milling and Cryo-milling, *Journal of Computational Applied Mechanics*, Vol. 47, No. 1, pp. 1-9, 2016.
- [17] M. Corcione, E. Habib, A. Quintino, A two-phase numerical study of buoyancy-driven convection of alumina-water nanofluids in differentially-heated horizontal annuli, *International Journal of Heat and Mass Transfer*, Vol. 65, pp. 327-338, 2013.
- [18] T. A. Kowalewski, M. Rebow, Freezing of water in a differentially heated cubic cavity, *International Journal of Computational Fluid Dynamics*, Vol. 11, No. 3-4, pp. 193-210, 1999.
- [19] J. C. Maxwell, *A Treatise on Electricity and Magnetism*, vol. II. Pp. 310-318, Clarendon, Oxford, 1904.
- [20] A. R. Khaled, K. Vafai, Heat transfer enhancement through control of thermal dispersion effects, *International Journal of Heat and Mass Transfer*, Vol. 48, No. 11, pp. 2172-2185, 2005.
- [21] T. Michalek, T. A. Kowalewski, B. Sarler, Natural convection for anomalous density variation of water: numerical benchmark, *Progress in Computational Fluid Dynamics, an International Journal*, Vol. 5, No. 3-5, pp. 158-170, 2005.

$P$	فشار (kg/m.s <sup>2</sup> )
$p$	فشار بی بعد
$Pr$	عدد پراتل
$r$	مختصات شعاعی (m)
$Ra$	عدد رابلی
$T$	درجه حرارت (K)
$u, v$	سرعت (m/s)
$U, V$	سرعت‌های بی بعد
$x, y$	مختصات دکارتی (m)
$X, Y$	مختصات دکارتی بی بعد

## علائم یونانی

$\alpha$	ضریب پخش حرارتی (m <sup>2</sup> /s)
$\phi$	درصد حجمی نانوذرات
$\beta$	ضریب انبساط حرارتی (K <sup>-1</sup> )
$\theta$	زاویه چرخش حول محور قائم (چیدمان متفاوت)
$\varphi$	مختصات زاویه ای در سیستم استوانه ای
$\mu$	ویسکوزیته دینامیکی (kg/m.s)
$\nu$	ویسکوزیته سینماتیکی (m <sup>2</sup> /s)
$\rho$	چگالی (kg/m <sup>3</sup> )

## زیرنویس

avg	میانگین
c	سرد
d	از بین رفته
f	سیال
eff	موثر
h	گرم
i	درونی
nf	نانوسیال
o	بیرونی
s	جامد
0	مقدار مرجع در شرایط سرما

## بالانویس

\* بدون بعد

## -۸ مراجع

- [1] H. Dawood, H. Mohammed, N. A. C. Sidik, K. Munisamy, M. Wahid, Forced, natural and mixed-convection heat transfer and fluid flow in annulus, *A review, International Communications in Heat and Mass Transfer*, Vol. 62, pp. 45-57, 2015.
- [2] W. M. El-Maghlany, M. M. Sorour, O. Hozien, Experimental study of natural convection in an annulus between two eccentric horizontal square ducts, *Experimental Thermal and Fluid Science*, Vol. 65, pp. 65-72, 2015.
- [3] K. T. Park, H. J. Kim, D.-K. Kim, Experimental study of natural convection from vertical cylinders with branched fins, *Experimental Thermal and Fluid Science*, Vol. 54, pp. 29-37, 2014.
- [4] K. Luo, H.-L. Yi, H.-P. Tan, Eccentricity effect on bifurcation and dual solutions in transient natural convection in a horizontal annulus, *International Journal of Thermal Sciences*, Vol. 89, pp. 283-293, 2015.